

## รายการอ้างอิง

- [1] สมบูรณ์ แสงวงศ์วานิชย์, โททม อารียา. “ระบบควบคุมมอเตอร์เหนี่ยวนำปราศจากเซ็นเซอร์วัดความเร็ว”, รายงานการวิจัยฉบับสมบูรณ์ (ปีที่ 1) โครงการพัฒนางจรอิเล็กทรอนิกส์เพื่ออุตสาหกรรม ศูนย์เทคโนโลยีอิเล็กทรอนิกส์และคอมพิวเตอร์แห่งชาติ กระทรวงวิทยาศาสตร์เทคโนโลยีและสิ่งแวดล้อม, 2538.
- [2] อุเทน นิตยาธารีกุล. “ระบบควบคุมเวกเตอร์ไร้เซ็นเซอร์วัดความเร็วที่อาศัยการประมาณค่าความเร็วจากแรงดันไฟฟ้าเหนี่ยวนำ”, วิทยานิพนธ์ปริญญาโทมหาบัณฑิต ภาควิชาวิศวกรรมไฟฟ้า จุฬาลงกรณ์มหาวิทยาลัย, 2542.
- [3] มงคล แซ่เจีย. “วิธีการแก้ไขผลกระทบจากการเปลี่ยนแปลงค่าพารามิเตอร์ของมอเตอร์เหนี่ยวนำสำหรับระบบควบคุมเวกเตอร์ไร้เซ็นเซอร์วัดความเร็วที่ใช้ฟลักซ์เทียม”, วิทยานิพนธ์ปริญญาโทมหาบัณฑิต ภาควิชาวิศวกรรมไฟฟ้า จุฬาลงกรณ์มหาวิทยาลัย 2545
- [4] H. Sugimoto. “One Improving Measures of Stability in Reperation Opertion of Speed Sensorless Vector Control Induction Motor System Using Adaptive Observer of Secondary Magnetic Flux”, *Proc. of IPEC-Tokyo 2000*, Vol. 3, pp. 1069-1074.
- [5] H. Umida et al. “Consideration about Problems and Solutions of Speed Estimation Method ans Parameter Tuning for Speed-Sensorless Vector Control of Induction Motor Drives”, *IEEE Trans. on Ind. Appl.*, Vol. 38, No. 5, 2002, pp. 1282-1289.
- [6] M. Tsuji et al. “A Sensorless Vector Control System for Induction Motors using q-Axis Flux with Stator Resistance Identification” , *IEEE Trans. on Ind. Elec.*, Vol. 48, No. 1, 2001, pp. 185-194.
- [7] T. Hamajima et al. “Sensorless Vector Control of Inducton Motor with Stator Resistance Identification Based on Augmented Error”, *Proc. of PCC-Osaka*, 2002, pp. 504-509.

## บรรณานุกรม

- [1] ชูเกียรติ นิธิโยธาน. “ระบบควบคุมเวกเตอร์แบบควบคุมกระแสไร้เซ็นเซอร์วัดความเร็ว สำหรับมอเตอร์เหนี่ยวนำ”, วิทยานิพนธ์ปริญญาโทบัณฑิต ภาควิชาวิศวกรรมไฟฟ้า จุฬาลงกรณ์มหาวิทยาลัย, 2542.
- [2] สุรพงศ์ สุวรรณกวิน. “เทคนิคใหม่ในการวิเคราะห์เสถียรภาพและออกแบบระบบขับเคลื่อน มอเตอร์เหนี่ยวนำไร้เซ็นเซอร์วัดความเร็วที่ใช้การควบคุมแบบแยกการเชื่อมโยง”, วิทยานิพนธ์ปริญญาโทบัณฑิต ภาควิชาวิศวกรรมไฟฟ้า จุฬาลงกรณ์มหาวิทยาลัย, 2544.
- [3] C. Schauder. “Adaptive Speed Identification for Vector Control of Induction Motors without Rotational Transducers”, *IEEE Trans. on Ind. Appl.*, Vol. IA-28, No. 5, 1992, pp. 1054-1061.
- [4] C. Fang et al. “Robustness of Regional Pole Placement for Uncertain Continuous-Time Implicit System”, *IEEE Trans. on Automatic Control*, Vol. 39, No. 11, 1994, pp. 2303-2305.
- [5] H. Kubota et al. “Stable Operation of Adaptive Observer Based Sensorless Induction Motor Drives in Regenerating Mode at Low Speeds”, *Conf. Record of IEEE/IAS Annual Meeting 2001*, Vol. 1, pp.469-474.
- [6] S. Sangwongwanish et al. “A Unified Approach to Speed and Parameter Identification of Induction Motor”, *Conf. Record of IEEE/IECON*, 1991, pp. 712-715
- [7] S. Sastry, M. Bodson. “Adaptive Control”, Prentice Hall, New Jersey, 1989

ศูนย์วิทยทรัพยากร  
จุฬาลงกรณ์มหาวิทยาลัย



ศูนย์วิทยทรัพยากร  
จุฬาลงกรณ์มหาวิทยาลัย

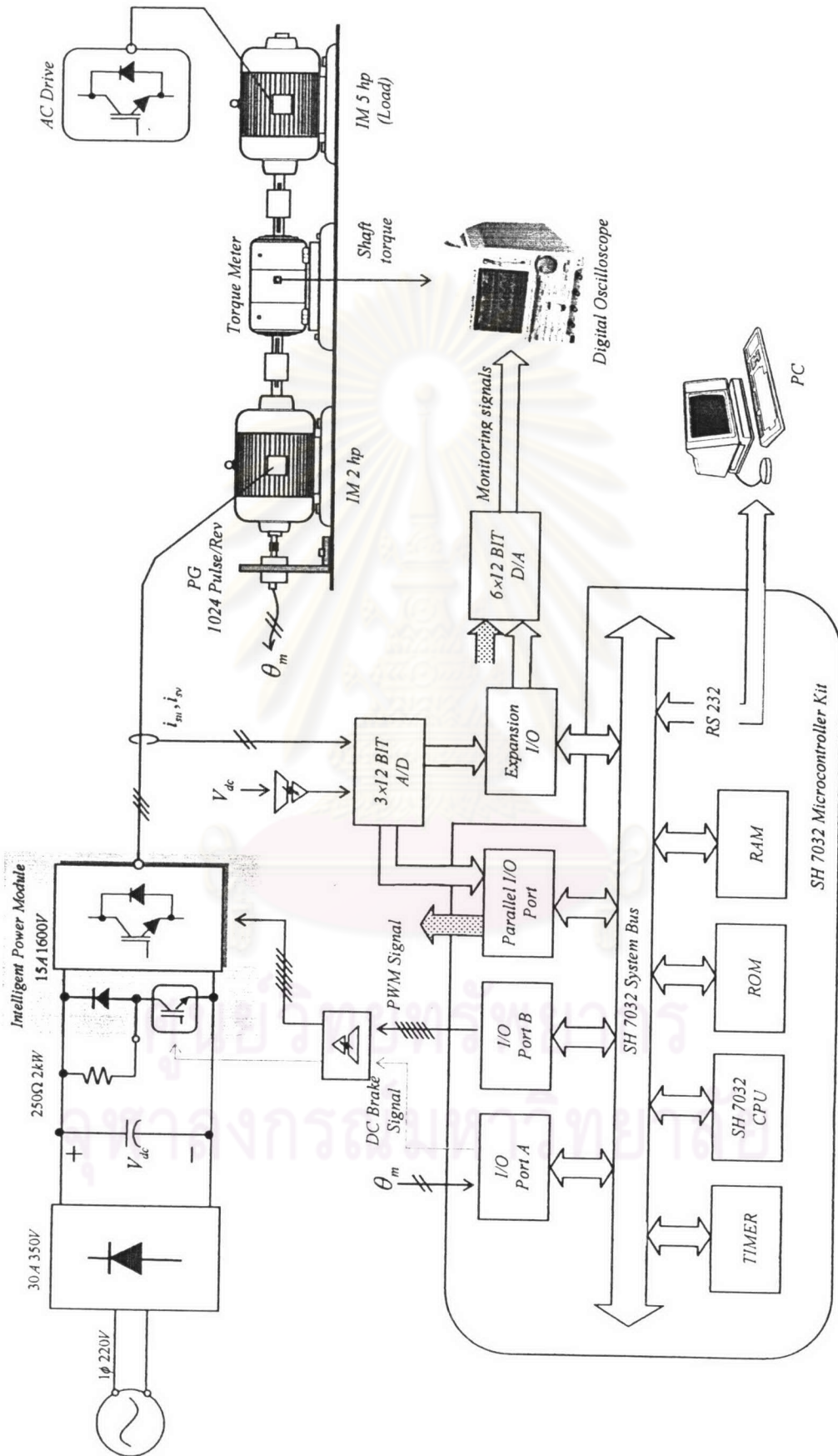
## ภาคผนวก ก

### ก.1 ฮาร์ดแวร์ของระบบ

รูป ก.1 แสดงให้เห็นถึงภาพรวมของฮาร์ดแวร์ของระบบควบคุมมอเตอร์เหนี่ยวนำที่พัฒนาขึ้น ในส่วนการคำนวณและประมวลผลเราได้ใช้บอร์ดสำเร็จรูปของไมโครคอนโทรลเลอร์ SH7032 ซึ่งประกอบด้วยตัวประมวลผล SH7032 ที่มีโครงสร้างทางสถาปัตยกรรมแบบ RISC โดยบอร์ดสำเร็จรูปนี้ประกอบด้วย สัญญาณนาฬิกาที่มีความถี่เท่ากับ 20 MHz, ROM, RAM (128 Kbytes), I/O พอร์ต A และพอร์ต B, I/O พอร์ตแบบขนาน (parallel port) (1 อินพุตพอร์ตและ 1 เอาต์พุตพอร์ต) และพอร์ตอนุกรม RS232 สำหรับฮาร์ดแวร์ที่เราพัฒนาเพิ่มเติมขึ้นมาได้แก่ I/O พอร์ตแบบขนานที่ขยายเพิ่มขึ้น (2 อินพุตและ 2 เอาต์พุต), วงจรแปลงสัญญาณ A/D ขนาด 12 บิต จำนวน 3 ช่อง และส่วนแปลงสัญญาณ D/A ขนาด 12 บิต จำนวน 3 ช่อง โดยในช่องที่ 3 เรามีการขยายตัวแปลงสัญญาณ D/A เพิ่มเป็น 4 ช่องสัญญาณ

ซอฟต์แวร์ที่ทำการพัฒนาบนคอมพิวเตอร์จะถูกถ่ายโอนมาที่ RAM บนบอร์ดสำเร็จรูปผ่านพอร์ตอนุกรม RS232 ข้อมูลของแรงดันบัสไฟตรงและกระแสมอเตอร์ที่ตรวจจับมาจะถูกแปลงเป็นสัญญาณดิจิทัลและถูกส่งมาที่บอร์ดควบคุมผ่านพอร์ตแบบขนาน สำหรับสัญญาณ PWM (6 สัญญาณ) และสัญญาณขับนำเบรคยูนิคที่ได้จากตัวประมวลผลจะถูกส่งไปยังอินเวอร์เตอร์ผ่าน I/O พอร์ต B และ A ตามลำดับ โดยสัญญาณทั้งหมดนี้จะถูกแยกโคดทางไฟฟ้าก่อนที่จะส่งผ่านไปที่ภาคกำลังของอินเวอร์เตอร์ สำหรับสัญญาณพัลส์จากตัวตรวจจับตำแหน่งของมอเตอร์ ( $\theta_m$ ) จะถูกส่งมาที่ I/O พอร์ต A ซึ่งเราจะใช้ในการเปรียบเทียบระหว่างค่าความเร็วจริงของมอเตอร์และความเร็วที่ประมาณค่าได้ในกรณีที่ตัวควบคุมทำงานในโหมดของการควบคุมแบบไร้เซนเซอร์วัดความเร็ว เราสามารถแสดงค่าสัญญาณต่างๆในตัวประมวลผลผ่านทางเอาต์พุตของพอร์ตแบบขนานที่เชื่อมต่อกับส่วนแปลงสัญญาณ D/A

ฮาร์ดแวร์ในส่วนของภาคกำลังนั้นจะมีโครงสร้างเหมือนอินเวอร์เตอร์พื้นฐานทั่วไปที่ประกอบด้วย ส่วนเรียงกระแสไฟตรง, ตัวเก็บประจุที่บัสไฟตรงและวงจรมอเตอร์ซึ่งเราใช้ IPM (Intelligent Power Module) เป็นอุปกรณ์กำลัง โดยมีเบรคยูนิครวมอยู่ภายในด้วย สำหรับระบบขับเคลื่อนทางกลจะประกอบด้วยมอเตอร์เหนี่ยวนำที่เราขับเคลื่อนขนาด 2 hp โดยค่าพิกัดและค่าพารามิเตอร์ของมอเตอร์ได้แสดงไว้ในตารางที่ ก.1 ส่วนอัตราขยายป้อนกลับและอัตราขยาย PI ที่ใช้ในการทดลองสามารถสรุปได้ตารางที่ ก.2 โหลดที่ใช้ในระบบนี้จะเป็นมอเตอร์เหนี่ยวนำขนาด 5 hp ซึ่งมีชุดควบคุมแบบเวกเตอร์เป็นตัวขับเคลื่อน อุปกรณ์ตรวจจับแรงบิดจะถูกเชื่อมต่อกันระหว่างมอเตอร์ทั้งสองตัว เพื่อตรวจวัดค่าแรงบิดที่เพลา (shaft torque) ของมอเตอร์ในระหว่างการขับเคลื่อนโหลด



รูปที่ ก.1 โครงสร้างฮาร์ดแวร์ของระบบที่ใช้ในการทดสอบ

ตารางที่ ก.1 พิกัดและพารามิเตอร์ของมอเตอร์เหนี่ยวนำที่ใช้ในงานวิจัย

<i>2HP, 220/380V, 50Hz, 6.0/3.0A, 1450rpm, 4Poles</i>	
$i_{sd} = 5.2 \text{ A}$	$i_{sq} = 9.0 \text{ A}$
$R_s = 1.40 \Omega$	$R_r' = 0.80 \Omega$
$L_s = 0.131 \text{ H}$	$L_r' = 0.120 \text{ H}$
$M' = 0.120 \text{ H}$	$J = 0.019 \text{ kg} \cdot \text{m}^2$

ตารางที่ ก.2 อัตราขยายปรับตัวและอัตราขยาย PI ที่ใช้ในการทดลอง

เมตริกซ์ขยายค่าความผิดพลาด $\mathbb{K}_1$	$\mathbb{K}_1 = [\text{I} - k\text{J}]$
เมตริกซ์ขยายค่าความผิดพลาด $\mathbb{K}_2$	$\mathbb{K}_2 = \text{sgn}(\omega)90^\circ [\text{I} - (\omega_s/\alpha)\text{J}]\mathbb{K}_1$
อัตราขยายปรับตัว $k_{i1}$	$k_{i1} = 0.3/(T_s \hat{\lambda}_r^2)$ เมื่อ $T_s$ : คาบการสุ่ม = $500 \mu\text{s}$ .
อัตราขยายปรับตัว $k_{i2}$	$k_{i2} = 0.002$
อัตราขยาย PI ควบคุมกระแส	$k_p = 10, k_i = 2500$
อัตราขยาย PI ควบคุมความเร็ว	$k_p = 0.2, k_i = 1.0$

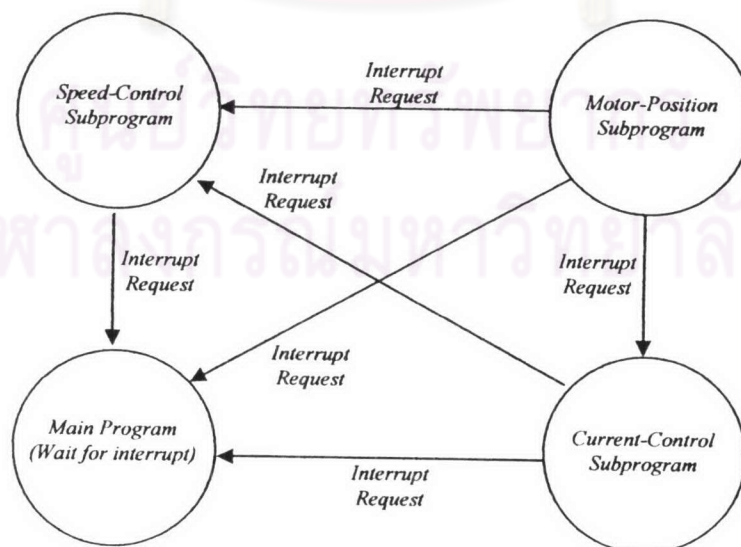
## ก.2 ซอฟต์แวร์ของระบบ

จากโครงสร้างส่วนการควบคุมในรูปที่ 1.1 ไมโครคอนโทรลเลอร์จะหาผลต่างระหว่างความเร็วคำสั่ง ( $\omega_m^*$ ) และความเร็วประมาณ ( $\hat{\omega}_m$ ) ที่ได้จากตัวประมาณค่าความเร็วโดยอาศัยแรงเคลื่อนเหนี่ยวนำ เพื่อทำการคำนวณกระแสสร้างแรงบิด ( $i_{sq}^*$ ) ผ่านตัวควบคุม PI ที่มีการจำกัดขนาดของสัญญาณออกไว้เพื่อไม่ให้กระแสมีค่าเกินพิกัด กระแส  $i_{sq}^*$  ที่คำนวณได้และกระแสสร้างฟลักซ์ ( $i_{sd}^*$ ) ที่กำหนดให้มีค่าคงตัวที่พิกัด จะถูกใช้เป็นตัวคำสั่งในการควบคุมกระแสด้วยตัวควบคุม PI บนแกนหมุนที่มีการชดเชยแบบป้อนไปหน้า แรงดันคำสั่งที่ได้จะใช้ในการสร้างสัญญาณ PWM ด้วยวิธีสเปซเวกเตอร์

เนื่องจากระบบที่พัฒนาขึ้นมีลักษณะการควบคุมเป็นแบบค่อทอดเนื่อง (Cascade) โดยมีการควบคุมกระแสเป็นวงรอบในซึ่งจะต้องมีผลตอบสนองที่ไวกว่าการควบคุมความเร็วที่อยู่วงรอบนอก ดังนั้นเราจึงทำการแยกซอฟต์แวร์ในส่วนการควบคุมกระแสออกจากส่วนการควบคุมความเร็ว โดยให้ส่วนการควบคุมกระแสมีความถี่การสุ่มสัญญาณเท่ากับ 8 kHz และส่วนการ

ควบคุมความเร็วมีความถี่เท่ากับ 2 kHz ทั้งนี้นอกจากจะช่วยให้ส่วนการควบคุมกระแสมีผลตอบสนองที่ไวขึ้นแล้ว ยังทำให้ระลอกของกระแสเนื่องจากความถี่การสวิตช์มีขนาดลดลงและปราศจากเสียงรบกวนขณะที่มีมอเตอร์ทำงาน

ในส่วนรายละเอียดของซอฟต์แวร์การทำงานจะประกอบด้วย โปรแกรมหลัก และ โปรแกรมย่อยสำหรับการเรียกใช้อินเทอร์พต์ 3 โปรแกรม ซึ่งได้แก่ โปรแกรมย่อยสำหรับควบคุมกระแส โปรแกรมย่อยสำหรับควบคุมความเร็ว และ โปรแกรมย่อยสำหรับอ่านค่าจากตัวตรวจจับตำแหน่งของมอเตอร์ ในที่นี้เราจะกำหนดให้โปรแกรมหลักทำหน้าที่ตั้งต้นค่าต่างๆ ให้กับตัวไมโครคอนโทรลเลอร์ จากนั้นโปรแกรมหลักจะเป็นเพียงที่พักรอการเรียกอินเทอร์พต์ต่างๆ เท่านั้น โดยมีโปรแกรมย่อยสำหรับอ่านค่าจากตัวตรวจจับตำแหน่งของมอเตอร์มีความสำคัญสูงสุด ตามด้วยโปรแกรมย่อยสำหรับควบคุมกระแสมีความสำคัญรองลงมา และสุดท้ายโปรแกรมย่อยสำหรับควบคุมความเร็วมีความสำคัญต่ำสุด การทำงานของระบบจะเริ่มต้นจากการเรียกอินเทอร์พต์จากโปรแกรมย่อยต่างๆ โดยที่โปรแกรมย่อยที่มีความสำคัญสูงกว่าจะได้ใช้บริการอินเทอร์พต์ก่อนไม่ว่าโปรแกรมย่อยที่มีความสำคัญต่ำลงมาจะทำงานอยู่หรือไม่ ในทางกลับกันถ้าโปรแกรมย่อยที่มีความสำคัญสูงกว่าทำงานอยู่ โปรแกรมย่อยที่มีความสำคัญต่ำกว่าจะไม่สามารถเรียกใช้บริการอินเทอร์พต์ได้จนกว่าโปรแกรมย่อยนั้นจะทำงานเสร็จ และเมื่อระบบทำงานในแต่ละโปรแกรมย่อยเสร็จแล้ว ระบบจะกลับไปโปรแกรมหลักรอการเรียกอินเทอร์พต์ต่างๆต่อไป ดังแสดงในรูปที่ ก.2 โดยที่ทิศทางของลูกศรแสดงถึงความสามารถในการเรียกใช้อินเทอร์พต์ สำหรับซอฟต์แวร์ทั้งหมดสามารถเขียนแสดงด้วย PDL (Program Development Language) และไคอะแกรมเวลาดังรูปที่ ก.3 และ ก.4



รูปที่ ก.2 ไคอะแกรมสถานะและการเรียกใช้อินเทอร์พต์

### ก.2.1 ซอฟต์แวร์ในส่วนโปรแกรมหลัก

ซอฟต์แวร์โมดูลนี้จะทำหน้าที่ตั้งค่าเริ่มต้นต่างๆ รวมทั้งอ่านค่าออฟเซตจากตัวตรวจนับกระแส และหลังจากนั้นจะรอการเรียกใช้บริการอินเทอร์พต์ต่างๆ

\*\*\*\*\*

#### Main Program

\*\*\*\*\*

#### Module: Main

##### Initialize.

Initialize all variables, timer, interrupts priority and enable time interrupt.

Read current offset

**Loop here and wait for interrupt request only.**

\*\*\*\*\*

### ก.2.2 ซอฟต์แวร์ในส่วนโปรแกรมน้อยสำหรับอ่านค่าจากตัวตรวจนับตำแหน่งมอเตอร์

ซอฟต์แวร์โมดูลนี้มีลำดับความสำคัญการให้บริการอินเทอร์พต์สูงสุด โดยใช้บริการอินเทอร์พต์ทุกๆ 125 ไมโครวินาที และโปรแกรมใช้การบริการอินเทอร์พต์ทั้งหมดประมาณ 1.5 ไมโครวินาที

\*\*\*\*\*

#### Position & Speed of Motor (8 kHz Interrupt Routine) Subprogram

\*\*\*\*\*

#### Module: \_IMIA3

Clear interrupt flag

Store all registers to stack

Read motor position

Update motor position data

Calculate motor speed

Pull up all register from stack

Return Interrupt

End of \_IMIA3.

\*\*\*\*\*



### ก.2.3 ซอฟต์แวร์โปรแกรมย่อยสำหรับการควบคุมกระแส

ซอฟต์แวร์ในโมดูลนี้มีลำดับความสำคัญการให้บริการอินเทอร์รัปต์ต่ำลงมา การใช้อินเทอร์รัปต์ทุกๆ 125 ไมโครวินาที และ ใช้เวลาในการบริการอินเทอร์รัปต์ทั้งหมดประมาณ 90 ไมโครวินาที

\*\*\*\*\*

#### Current Control (8 kHz Interrupt Routine) Subprogram

\*\*\*\*\*

Module: \_IMIA2

Clear interrupt flag

Store all registers in stack

Read motor current

Get  $i_{su}, i_{sv}$  from A/D

Get rotor flux angle

Convert  $i_{su}, i_{sv}$  to  $i_{sd}, i_{sq}$

Current Controller

Get current command ( $i_{sd}^*, i_{sq}^*$ ) from Speed-Control Interrupt

Current controller (PI) dq-axis

Calculate current error ( $i_{sd}^* - i_{sd}, i_{sq}^* - i_{sq}$ )

Calculate PI output ( $u_{sd}^*, u_{sq}^*$ )

Vector Controller

Get motor speed ( $\hat{\omega}_m$ ) from Speed-Control Interrupt

Calculate rotor flux magnitude ( $\hat{\lambda}_r$ )

Calculate slip frequency ( $\hat{\omega}_s$ ), rotor flux frequency ( $\hat{\omega}$ )

Calculate rotor flux angle ( $\hat{\rho}$ )

Calculate voltage command

Get stator resistance ( $\hat{R}_s$ ) from Speed-Control Interrupt

Calculate feedforward-decoupling ( $f_d, f_q$ )

Calculate  $v_{sd}^*, v_{sq}^*$  by summation  $u_{sd}^*, u_{sq}^*$  and  $f_d, f_q$

**Read DC bus voltage**

Get  $V_{dc}$  from A/D

**Generate PWM signal**

Convert  $v_{sd}^*, v_{sq}^*$  to  $v_{un}^*, v_{vn}^*, v_{wn}^*$

Find medium value of  $v_{un}^*, v_{vn}^*, v_{wn}^*$  to get  $v_{no}^*$

Calculate  $v_{uo}^*, v_{vo}^*, v_{wo}^*$

Compensate dead-time effect

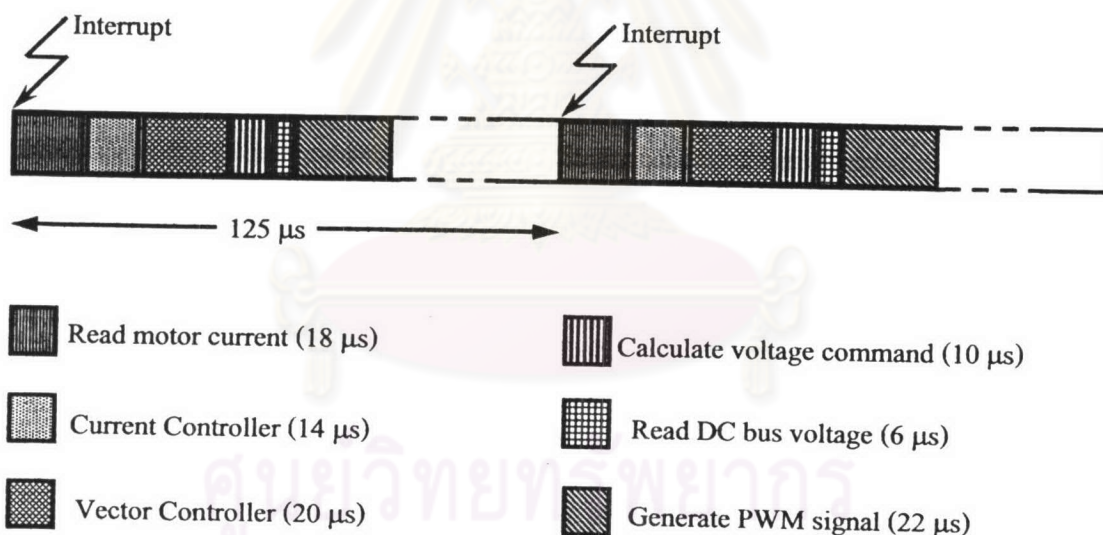
Calculate timing of switching pattern

**Pop up all registers from stack**

**Return Interrupt**

**End of \_IMIA2**

\*\*\*\*\*



รูปที่ ก.3 ไคอะแกรมเวลาของซอฟต์แวร์ส่วนการควบคุมกระแส

**ก.2.4 ซอฟต์แวร์โปรแกรมย่อยสำหรับควบคุมความเร็ว**

ซอฟต์แวร์ในโมดูลนี้มีลำดับความสำคัญการใช้บริการอินเทอร์พต์ต่ำสุด การใช้อินเทอร์พต์ทุกๆ 500 ไมโครวินาที และ ใช้เวลาในการบริการอินเทอร์พต์ทั้งหมดประมาณ 45 ไมโครวินาที

\*\*\*\*\*

**Speed Control (2 kHz Interrupt Routine) Subprogram**

\*\*\*\*\*

**Module: \_IMIA1**

**Clear interrupt flag**

**Store all registers in stack**

**Interrupt exception 1**

Get  $i_{sd}^*, i_{sq}^*$  and  $u_{sd}^*, u_{sq}^*$  from Current Control Interrupt

**Speed regulator (PI)**

Get speed command ( $\omega_m^*$ )

Calculate speed error ( $\omega_m^* - \hat{\omega}_m$ )

Calculate PI output ( $i_{sq}^*$ )

**Parameter estimation**

Calculate output error ( $e_d, e_q$ )

Calculate estimated speed ( $\hat{\omega}_m$ )

Calculate estimated stator resistance ( $\hat{R}_s$ )

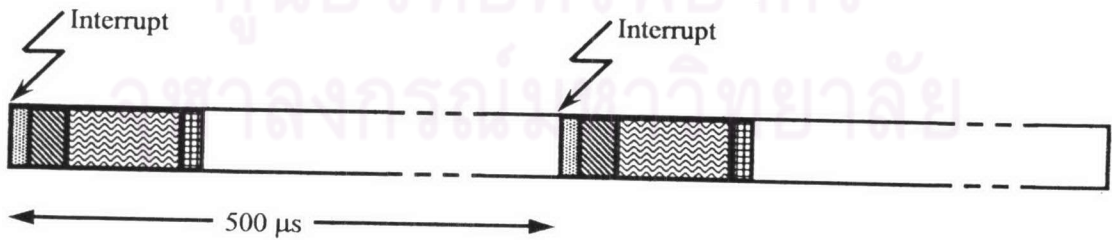
**Interrupt exception 2**

Transfer  $i_{sd}^*, i_{sq}^*$  and  $\hat{\omega}_m$  to Current Control Interrupt

**Return Interrupt**

**End of \_IMIA1**

\*\*\*\*\*



-  Interrupt exception 1 (1 μs)
-  Speed regulator (7 μs)
-  Parameter Estimation (35 μs)
-  Interrupt exception 2 (2 μs)

รูปที่ ก.4 ไคอะแกรมเวลาของซอฟต์แวร์ส่วนควบคุมความเร็ว.

## ภาคผนวก ข

### การคำนวณหาค่าความผิดพลาดในการประมาณค่าความเร็วเมื่อ ค่าพารามิเตอร์ของมอเตอร์เปลี่ยนแปลง

ในการวิเคราะห์ผลกระทบของพารามิเตอร์แต่ละตัวของมอเตอร์เหนี่ยวนำที่มีต่อความผิดพลาดในการประมาณค่าความเร็วนั้น เราจะถือว่าพารามิเตอร์ตัวอื่นๆที่ไม่ได้พิจารณาในขณะนั้นเป็นพารามิเตอร์ที่มีค่าคงตัวและตรงกับค่าจริง และพารามิเตอร์ที่กำลังพิจารณาจะถือว่าเป็นค่าประมาณหรือแทนด้วยเครื่องหมาย " ^ " "

#### ข.1 ผลกระทบที่เกิดจากการเปลี่ยนแปลงค่าความเหนี่ยวนำร่วมสมมูล

การเปลี่ยนแปลงของค่าความเหนี่ยวนำร่วมสมมูลซึ่งเป็นพารามิเตอร์ตัวหนึ่งทางด้านโรเตอร์จะส่งผลกระทบต่อแรงเคลื่อนเหนี่ยวนำประมาณ ( $\hat{U}$ ) และ โรเตอร์ฟลักซ์ประมาณ ( $\hat{\lambda}_r$ ) ที่คำนวณได้ในแบบจำลองปรับตัว ดังแสดงในสมการ (ข.2) ส่วนในแบบจำลองอ้างอิงซึ่งคำนวณมาจากปริมาณทางด้านสเตเตอร์ ดังนั้นค่าแรงเคลื่อนเหนี่ยวนำและ โรเตอร์ฟลักซ์ที่คำนวณได้จะเป็นค่าจริงที่ตรงกับในมอเตอร์ดังแสดงในสมการ (ข.1)

$$\text{Reference Model: } \bar{U} = \frac{d\bar{\lambda}_r}{dt} = R'_r \cdot \bar{i}_s + \left[ -\frac{R'_r}{M'} \mathbb{I} + \omega_m \mathbb{J} \right] \cdot \bar{\lambda}_r \quad (\text{ข.1})$$

$$\begin{aligned} \text{Adjusted Model: } \hat{U} &= \frac{d\hat{\lambda}_r}{dt} = R'_r \cdot \hat{i}_s + \left[ -\frac{R'_r}{\hat{M}'} \mathbb{I} + \hat{\omega}_m \mathbb{J} \right] \cdot \hat{\lambda}_r \\ &= R'_r \cdot \hat{i}_s + \left[ -R'_r \left\{ \frac{1}{\hat{M}'} + \Delta \left( \frac{1}{M'} \right) \right\} \mathbb{I} + \hat{\omega}_m \mathbb{J} \right] \cdot \hat{\lambda}_r \end{aligned} \quad (\text{ข.2})$$

โดยที่  $\Delta(1/M') = 1/\hat{M}' - 1/M'$ : ค่าความคลาดเคลื่อนของความเหนี่ยวนำร่วมสมมูล

จากความสัมพันธ์  $\bar{U} = d\bar{\lambda}/dt$  และ  $\hat{U} = d\hat{\lambda}/dt$  เราสามารถหาค่าความผิดพลาดของแรงเคลื่อนเหนี่ยวนำ  $\bar{e}$  ตามสมการ (2.6) ได้ดังแสดงในสมการ (ข.3)

$$\bar{e} = \bar{U} - \hat{U} = \frac{d}{dt} (\bar{\lambda}_r - \hat{\lambda}_r) \quad (\text{ข.3})$$

และจากการนำสมการ (ข.1) ลบ (ข.2) จะได้ค่าความผิดพลาดแรงเคลื่อนเหนี่ยวนำดังแสดงในสมการ (ข.4)

$$\begin{aligned}
\bar{e} &= -\frac{R'_r}{M'} \mathbb{I} (\bar{\lambda}_r - \hat{\lambda}) + R'_r \cdot \Delta(1/M') \hat{\lambda}_r + \omega_m \mathbb{J} \bar{\lambda}_r - \hat{\omega}_m \mathbb{J} \hat{\lambda}_r \\
\bar{e} &= -\frac{R'_r}{M'} \mathbb{I} (\bar{\lambda}_r - \hat{\lambda}) + R'_r \cdot \Delta(1/M') \hat{\lambda}_r + (\omega_m \mathbb{J} \bar{\lambda}_r - \omega_m \mathbb{J} \hat{\lambda}_r) + (\omega_m \mathbb{J} \hat{\lambda}_r - \hat{\omega}_m \mathbb{J} \hat{\lambda}_r) \\
\bar{e} &= -\frac{R'_r}{M'} \mathbb{I} (\bar{\lambda}_r - \hat{\lambda}_r) + R'_r \cdot \Delta(1/M') \hat{\lambda}_r + \omega_m \mathbb{J} (\bar{\lambda}_r - \hat{\lambda}_r) + (\omega_m - \hat{\omega}_m) \mathbb{J} \hat{\lambda}_r \\
\bar{e} &= \left( -\frac{R'_r}{M'} \mathbb{I} + \omega_m \mathbb{J} \right) (\bar{\lambda}_r - \hat{\lambda}_r) + (R'_r \cdot \Delta(1/M') \mathbb{I} + \Delta \omega_m \mathbb{J}) \hat{\lambda}_r \quad (\text{ข.4})
\end{aligned}$$

โดยที่  $\Delta \omega_m = \omega_m - \hat{\omega}_m$  : ค่าความผิดพลาดของความถี่

ภายใต้เงื่อนไขว่า  $\omega_m$  มีการเปลี่ยนแปลงช้ามาก เราสามารถทำการดิฟเฟอเรนเชียลสมการ (ข.4) ได้ดังแสดงในสมการ (ข.5)

$$\frac{d}{dt} \bar{e} = \left( -\frac{R'_r}{M'} \mathbb{I} + \omega_m \mathbb{J} \right) \frac{d}{dt} (\bar{\lambda}_r - \hat{\lambda}_r) + \frac{d}{dt} (R'_r \cdot \Delta(1/M') \mathbb{I} + \Delta \omega_m \mathbb{J}) \hat{\lambda}_r \quad (\text{ข.5})$$

จากความสัมพันธ์  $d(\bar{\lambda}_r - \hat{\lambda}_r)/dt = \bar{e}$  ในสมการ (ข.3) แทนลงในสมการ (ข.5) จากนั้นแทน  $d/dt$  ให้อยู่ในรูป  $s\mathbb{I}$  จะได้สมการค่าความผิดพลาดแรงเคลื่อนเหนี่ยวนำที่เกิดความ  $\Delta \omega_m$  และ  $\Delta(1/M')$  ดังแสดงในสมการ (ข.6)

$$\begin{aligned}
s\mathbb{I} \cdot \bar{e} &= \left( -\frac{R'_r}{M'} \mathbb{I} + \omega_m \mathbb{J} \right) \bar{e} + s\mathbb{I} \cdot (R'_r \cdot \Delta(1/M') \mathbb{I} + \Delta \omega_m \mathbb{J}) \hat{\lambda}_r \\
\bar{e} &= [(s - \alpha) \mathbb{I} + \omega_m \mathbb{J}]^{-1} s\mathbb{I} \cdot (R'_r \cdot \Delta(1/M') \mathbb{I} + \Delta \omega_m \mathbb{J}) \hat{\lambda}_r \\
\bar{e} &= \mathbb{G}(s) \cdot (R'_r \cdot \Delta(1/M') \mathbb{I} + \Delta \omega_m \mathbb{J}) \hat{\lambda}_r \\
\bar{e} &= \mathbb{G}(s) \cdot R'_r \cdot \Delta(1/M') \hat{\lambda}_r + \mathbb{G}(s) \cdot \Delta \omega_m \mathbb{J} \hat{\lambda}_r \quad (\text{ข.6})
\end{aligned}$$

โดยที่  $\mathbb{G}(s) = [(s - \alpha) \mathbb{I} + \omega_m \mathbb{J}]^{-1} s\mathbb{I}$  และ  $\alpha = R'_r / M'$

จากสมการ (2.6) เราสามารถหาค่าความผิดพลาดของแรงเคลื่อนเหนี่ยวนำที่ใช้ในการประมาณค่าความเร็ว  $\bar{e}_m$  ได้ดังสมการ (ข.7)

$$\bar{e}_m = \mathbb{K}_1 \mathbb{G}(s) \cdot \left\{ \Delta \omega_m \mathbb{J} \hat{\lambda}_r \right\} + \mathbb{K}_1 \mathbb{G}(s) \cdot \left\{ R'_r \Delta(1/M') \hat{\lambda}_r \right\} \quad (\text{ข.7})$$

จากสมการ (ข.7) เมื่อย้ายแกนอ้างอิงจากแกนอ้างอิงสเตเตอร์ (แกน  $\alpha - \beta$ ) ไปเป็นแกนอ้างอิงโรเตอร์ฟลักซ์ (แกน  $d - q$ ) ได้ดังแสดงในสมการ (ข.8)

$$\begin{bmatrix} e_{md} \\ e_{mq} \end{bmatrix} = \begin{bmatrix} G'_{m11}(s) & G'_{m12}(s) \\ G'_{m21}(s) & G'_{m22}(s) \end{bmatrix} \cdot \begin{bmatrix} 0 \\ \hat{\lambda}_r \end{bmatrix} \Delta\omega_m + \begin{bmatrix} G'_{m11}(s) & G'_{m12}(s) \\ G'_{m21}(s) & G'_{m22}(s) \end{bmatrix} \cdot \begin{bmatrix} \hat{\lambda}_r \\ 0 \end{bmatrix} R'_r \Delta(1/M') \quad (\text{ข.8})$$

เมื่อ

$$\begin{bmatrix} G'_{m11}(s) & G'_{m12}(s) \\ G'_{m21}(s) & G'_{m22}(s) \end{bmatrix} = \mathbb{G}'_m(s) = \mathbb{K}_1 \cdot \mathbb{G}(s') \Big|_{s'=sI+\omega J} \quad (\text{ข.9})$$

$$G'_{m11}(s) = G'_{m22}(s) = \frac{s^2 + (\alpha + k\omega_m)s + \omega(k\alpha + \omega_s)}{(s + \alpha)^2 + \omega_s^2} \quad (\text{ข.10})$$

$$G'_{m12}(s) = G'_{m21}(s) = \frac{-ks^2 + (\omega_m - k\alpha)s + \omega(\alpha - k\omega_s)}{(s + \alpha)^2 + \omega_s^2} \quad (\text{ข.11})$$

จากสมการ (2.5) องค์ประกอบของแรงเคลื่อนเหนี่ยวนำ  $\bar{e}_m$  ที่ใช้ในการประมาณค่าความเร็วจริงๆ คือ  $e_{mq}$  ดังแสดงในสมการ (ข.12)

$$e_{mq} = G'_{m22}(s) \cdot \hat{\lambda}_r \Delta\omega_m + G'_{m21}(s) \cdot \hat{\lambda}_r R'_r \Delta(1/M') \quad (\text{ข.12})$$

เมื่อระบบประมาณเข้าสู่สภาวะอยู่ตัว ระบบจะปรับตัวให้ค่า  $e_{mq}$  จะมีค่าเป็นศูนย์ และจากการแทนค่า  $e_{mq} = 0$  และ  $s = 0$  ลงในสมการ (ข.12) จะได้ความสัมพันธ์ระหว่าง  $\Delta\omega_m$  และ  $\Delta(1/M')$  ในสภาวะอยู่ตัว ดังแสดงในสมการ (ข.13)

$$\begin{aligned} 0 &= G'_{m22}(0) \cdot \hat{\lambda}_r \Delta\omega_m + G'_{m21}(0) \cdot \hat{\lambda}_r R'_r \Delta(1/M') \\ \therefore \frac{\Delta\omega_m}{\Delta(1/M')} &= -\frac{G'_{m21}(0) R'_r}{G'_{m22}(0)} = \frac{R'_r (k\omega_s - \alpha)}{(k\alpha + \omega_s)} \end{aligned} \quad (\text{ข.13})$$

## ข.2 ผลกระทบที่เกิดจากการเปลี่ยนแปลงค่าความต้านทานโรเตอร์สมมูล

การเปลี่ยนแปลงของความต้านทานโรเตอร์สมมูลซึ่งเป็นพารามิเตอร์ตัวหนึ่งทางด้านโรเตอร์จะส่งผลกระทบต่อแรงเคลื่อนเหนี่ยวนำประมาณ ( $\hat{U}$ ) และโรเตอร์ฟลักซ์ประมาณ ( $\hat{\lambda}_r$ ) ที่คำนวณได้ในแบบจำลองปรับตัว ดังแสดงในสมการ (ข.15) ส่วนในแบบจำลองอ้างอิงซึ่งคำนวณมาจากปริมาณทางด้านสเตเตอร์ ดังนั้นค่าแรงเคลื่อนเหนี่ยวนำและโรเตอร์ฟลักซ์ที่คำนวณได้จะเป็นค่าจริงที่ตรงกับโมเดลดังแสดงในสมการ (ข.14)

$$\text{Reference Model: } \bar{U} = \frac{d\bar{\lambda}_r}{dt} = R'_r \cdot \bar{i}_s + \left[ -\frac{R'_r}{M'} \mathbb{I} + \omega_m \mathbb{J} \right] \cdot \bar{\lambda}_r \quad (\text{ข.14})$$

$$\begin{aligned} \text{Adjusted Model: } \hat{U} &= \frac{d\hat{\lambda}_r}{dt} = \hat{R}'_r \cdot \bar{i}_s + \left[ -\frac{\hat{R}'_r}{M'} \mathbb{I} + \hat{\omega}_m \mathbb{J} \right] \cdot \hat{\lambda}_r \\ &= (R'_r - \Delta R'_r) \cdot \bar{i}_s + \left[ -\frac{(R'_r - \Delta R'_r)}{M'} \mathbb{I} + \hat{\omega}_m \mathbb{J} \right] \cdot \hat{\lambda}_r \end{aligned} \quad (\text{ข.15})$$

โดยที่  $\Delta R'_r = R'_r - \hat{R}'_r$  : ค่าความคลาดเคลื่อนของความต้านทานโรเตอร์สมมูล

จากสมการ (ข.14) และ (ข.15) สามารถหาค่าความผิดพลาดแรงเคลื่อนเหนี่ยวนำ  $\bar{e}$  ได้ดังแสดงในสมการ (ข.16)

$$\begin{aligned} \bar{e} &= \Delta R'_r \bar{i}_s - \frac{R'_r}{M'} \mathbb{I} (\bar{\lambda}_r - \hat{\lambda}_r) - \frac{\Delta R'_r}{M'} \hat{\lambda}_r + \omega_m \mathbb{J} \bar{\lambda}_r - \hat{\omega}_m \mathbb{J} \hat{\lambda}_r \\ \bar{e} &= \frac{\Delta R'_r}{M'} (M \bar{i}_s - \hat{\lambda}_r) - \frac{R'_r}{M'} \mathbb{I} (\bar{\lambda}_r - \hat{\lambda}_r) + \omega_m \mathbb{J} (\bar{\lambda}_r - \hat{\lambda}_r) + (\omega_m - \hat{\omega}_m) \mathbb{J} \hat{\lambda}_r \\ \bar{e} &= \left( -\frac{R'_r}{M'} \mathbb{I} + \omega_m \mathbb{J} \right) (\bar{\lambda}_r - \hat{\lambda}_r) + \frac{\Delta R'_r}{M'} (M \bar{i}_s - \hat{\lambda}_r) + \Delta \omega_m \mathbb{J} \hat{\lambda}_r \end{aligned} \quad (\text{ข.16})$$

ภายใต้เงื่อนไขว่า  $\omega_m$  มีการเปลี่ยนแปลงช้ามาก เราสามารถทำการดิฟเฟอเรนเชียลสมการ (ข.16) ได้ดังแสดงในสมการ (ข.17)

$$\frac{d}{dt} \bar{e} = \left( -\frac{R'_r}{M'} \mathbb{I} + \omega_m \mathbb{J} \right) \frac{d}{dt} (\bar{\lambda}_r - \hat{\lambda}_r) + \frac{d}{dt} \left( \frac{\Delta R'_r}{M'} (M \bar{i}_s - \hat{\lambda}_r) + \Delta \omega_m \mathbb{J} \hat{\lambda}_r \right) \quad (\text{ข.17})$$

จากความสัมพันธ์  $d(\bar{\lambda}_r - \hat{\lambda}_r)/dt = \bar{e}$  แทนลงในสมการ (ข.17) จากนั้นแทน  $d/dt$  ให้อยู่ในรูป  $s\mathbb{I}$  จะได้สมการค่าความผิดพลาดแรงเคลื่อนเหนี่ยวนำที่เกิดจาก  $\Delta \omega_m$  และ  $\Delta R'_r$  ดังแสดงในสมการ (ข.17)

$$\begin{aligned} s\mathbb{I} \cdot \bar{e} &= \left( -\frac{R'_r}{M'} \mathbb{I} + \omega_m \mathbb{J} \right) \bar{e} + s\mathbb{I} \cdot \left( \frac{\Delta R'_r}{M'} (M \bar{i}_s - \hat{\lambda}_r) + \Delta \omega_m \mathbb{J} \hat{\lambda}_r \right) \\ \bar{e} &= [(s - \alpha) \mathbb{I} + \omega_m \mathbb{J}]^{-1} s\mathbb{I} \cdot \left( \frac{\Delta R'_r}{M'} (M \bar{i}_s - \hat{\lambda}_r) + \Delta \omega_m \mathbb{J} \hat{\lambda}_r \right) \\ \bar{e} &= \mathbb{G}(s) \cdot \frac{\Delta R'_r}{M'} (M \bar{i}_s - \hat{\lambda}_r) + \mathbb{G}(s) \cdot \Delta \omega_m \mathbb{J} \hat{\lambda}_r \end{aligned} \quad (\text{ข.17})$$

จากสมการ (2.6) เราสามารถหาค่าความผิดพลาดของแรงเคลื่อนเหนี่ยวนำที่ใช้ในการประมาณค่าความเร็ว  $\bar{e}_m$  ได้ดังสมการ (ข.18)

$$\begin{bmatrix} e_{md} \\ e_{mq} \end{bmatrix} = \begin{bmatrix} G'_{m11}(s) & G'_{m12}(s) \\ G'_{m21}(s) & G'_{m22}(s) \end{bmatrix} \cdot \begin{bmatrix} 0 \\ \hat{\lambda}_r \end{bmatrix} \Delta\omega_m + \begin{bmatrix} G'_{m11}(s) & G'_{m12}(s) \\ G'_{m21}(s) & G'_{m22}(s) \end{bmatrix} \cdot \begin{bmatrix} Mi_{sd} - \hat{\lambda}_r \\ Mi_{sq} \end{bmatrix} \frac{\Delta R'_r}{M'} \quad (\text{ข.18})$$

จากสมการ (2.5) องค์ประกอบของแรงเคลื่อนเหนี่ยวนำ  $\bar{e}_m$  ที่ใช้ในการประมาณค่าความเร็วจริงๆ คือ  $e_{mq}$  และระบบเข้าสู่สถานะอยู่ตัว  $e_{mq}$  จะมีค่าเป็นศูนย์และ  $Mi_{sd} = \hat{\lambda}_r$  ดังนั้นเมื่อแทน  $e_{mq} = 0$  และ  $s = 0$  ลงในสมการ (ข.18) จะได้ความสัมพันธ์ระหว่าง  $\Delta\omega_m$  และ  $\Delta R'_r$  ในสถานะอยู่ตัว ดังแสดงในสมการ (ข.19)

$$\begin{aligned} e_{mq} = 0 &= G'_{m22}(0) \cdot \left\{ \hat{\lambda}_r \cdot \Delta\omega_m \right\} + \left\{ G'_{m21}(0) \cdot \left( \cancel{Mi_{sd}} - \hat{\lambda}_r \right) + G'_{m22}(0) \cdot Mi_{sq} \right\} \frac{\Delta R'_r}{M'} \\ \therefore \frac{\Delta\omega_m}{\Delta R'_r} &= - \frac{G'_{m22}(0) \cdot i_{sq}}{G'_{m22}(0) \cdot \hat{\lambda}_r} = - \frac{i_{sq}}{\hat{\lambda}_r} \end{aligned} \quad (\text{ข.19})$$

### ข.3 ผลกระทบที่เกิดจากการเปลี่ยนแปลงค่าความเหนี่ยวนำรั่วไหลรวม

ค่าความเหนี่ยวนำรั่วไหลรวมเป็นพารามิเตอร์ทางด้านสเตเตอร์ การเปลี่ยนแปลงของค่าความเหนี่ยวนำรั่วไหลรวมจะมีผลเป็นเสมือนสัญญาณรบกวน ที่รวมเข้ามากับแรงเคลื่อนเหนี่ยวนำขาออก ( $\bar{U}$ ) ที่คำนวณได้จากจากแบบจำลองอ้างอิง ดังแสดงในสมการ (ข.19) และ (ข.20) สำหรับในแบบจำลองปรับตัวซึ่งไม่ได้รับผลกระทบดังกล่าวยังคงมีค่าเหมือนเดิม ดังแสดงในสมการ (ข.21)

Reference Model:

$$\bar{U} = \bar{v}_s - \left[ R_s + \widehat{\sigma L}_s \frac{d}{dt} \right] \cdot \bar{i} = \bar{v}_s - \left[ R_s + \sigma L_s \frac{d}{dt} \right] \cdot \bar{i}_s + \Delta(\sigma L_s) \frac{d\bar{i}_s}{dt} \quad (\text{ข.19})$$

$$\bar{U} = \frac{d\hat{\lambda}_r}{dt} + \Delta(\sigma L_s) \frac{d\bar{i}_s}{dt} = R'_r \cdot \bar{i}_s + \left[ -\frac{R'_r}{M'} \mathbb{I} + \omega_m \mathbb{J} \right] \cdot \bar{\lambda}_m + \Delta(\sigma L_s) \frac{d\bar{i}_s}{dt} \quad (\text{ข.20})$$

Adjusted Model:

$$\hat{U} = \frac{d\hat{\lambda}_r}{dt} = R'_r \cdot \bar{i}_s + \left[ -\frac{R'_r}{M'} \mathbb{I} + \hat{\omega}_m \mathbb{J} \right] \cdot \hat{\lambda}_r \quad (\text{ข.21})$$

โดยที่  $\Delta(\sigma L_s) \frac{d\bar{i}_s}{dt}$ : สัญญาณรบกวน เนื่องจากการเปลี่ยนแปลงค่าความเหนี่ยวนำรั่วไหลรวม

$\Delta(\sigma L_s) = \sigma L_s - \widehat{\sigma L}_s$ : ค่าความคลาดเคลื่อนของความเหนี่ยวนำรั่วไหลรวม



จากความสัมพันธ์  $\bar{U} = d\bar{\lambda}/dt + \Delta(\sigma L_s) \cdot d\bar{i}_s/dt$  และ  $\hat{U} = d\hat{\lambda}/dt$  เราสามารถหาค่าความผิดพลาดของแรงเคลื่อนเหนี่ยวนำ  $\bar{e}$  ตามสมการ (2.6) ได้ดังแสดงในสมการ (ข.22)

$$\bar{e} = \bar{U} - \hat{U} = \frac{d}{dt}(\bar{\lambda}_r - \hat{\lambda}_r) + \Delta(\sigma L_s) \frac{d\bar{i}_s}{dt} \quad (\text{ข.22})$$

และจากการนำสมการ (ข.20) ลบ (ข.21) สามารถหาค่าความผิดพลาดแรงเคลื่อนเหนี่ยวนำ  $\bar{e}$  ได้ดังแสดงในสมการ (ข.23)

$$\begin{aligned} \bar{e} &= -\frac{R'_r}{M'} \mathbb{I} (\bar{\lambda}_r - \hat{\lambda}_r) + \omega_m \mathbb{J} \bar{\lambda}_r - \hat{\omega}_m \mathbb{J} \hat{\lambda}_r + \Delta(\sigma L_s) \frac{d\bar{i}_s}{dt} \\ \bar{e} &= -\frac{R'_r}{M'} \mathbb{I} (\bar{\lambda}_r - \hat{\lambda}_r) + \omega_m \mathbb{J} (\bar{\lambda}_r - \hat{\lambda}_r) + (\omega_m - \hat{\omega}_m) \mathbb{J} \hat{\lambda}_r + \Delta(\sigma L_s) \frac{d\bar{i}_s}{dt} \\ \bar{e} &= \left( -\frac{R'_r}{M'} \mathbb{I} + \omega_m \mathbb{J} \right) (\bar{\lambda}_r - \hat{\lambda}_r) + (\Delta\omega_m) \mathbb{J} \hat{\lambda}_r + \Delta(\sigma L_s) \frac{d\bar{i}_s}{dt} \end{aligned} \quad (\text{ข.23})$$

ภายใต้เงื่อนไขว่า  $\omega_m$  มีการเปลี่ยนแปลงช้ามาก เราสามารถทำการดิฟเฟอเรนเชียลสมการ (ข.23) ได้ดังแสดงในสมการ (ข.24)

$$\frac{d}{dt} \bar{e} = \left( -\frac{R'_r}{M'} \mathbb{I} + \omega_m \mathbb{J} \right) \frac{d}{dt} (\bar{\lambda}_r - \hat{\lambda}_r) + \frac{d}{dt} \left( (\Delta\omega_m) \mathbb{J} \hat{\lambda}_r + \Delta(\sigma L_s) \frac{d\bar{i}_s}{dt} \right) \quad (\text{ข.24})$$

จากสมการ (ข.22) ความสัมพันธ์  $d(\bar{\lambda}_r - \hat{\lambda}_r)/dt = \bar{e} - \Delta(\sigma L_s) \cdot d\bar{i}_s/dt$  แทนลงในสมการ (ข.24) จากนั้นแทน  $d/dt$  ให้อยู่ในรูป  $s\mathbb{I}$  จะได้สมการค่าความผิดพลาดแรงเคลื่อนเหนี่ยวนำที่เกิดจาก  $\Delta\omega_m$  และ  $\Delta(\sigma L_s)$  ดังแสดงในสมการ (ข.25)

$$\begin{aligned} s\mathbb{I} \cdot \bar{e} &= \left( -\frac{R'_r}{M'} \mathbb{I} + \omega_m \mathbb{J} \right) (\bar{e} - \Delta(\sigma L_s) s\mathbb{I} \cdot \bar{i}_s) + s\mathbb{I} \cdot \left( (\Delta\omega_m) \mathbb{J} \hat{\lambda}_r + \Delta(\sigma L_s) s\mathbb{I} \cdot \bar{i}_s \right) \\ \bar{e} &= [(s - \alpha) \mathbb{I} + \omega_m \mathbb{J}]^{-1} s\mathbb{I} \cdot (\Delta\omega_m) \mathbb{J} \hat{\lambda}_r + \Delta(\sigma L_s) s\mathbb{I} \cdot \bar{i}_s \\ \bar{e} &= \mathbb{G}(s) \cdot (\Delta\omega_m) \mathbb{J} \hat{\lambda}_r + \Delta(\sigma L_s) s\mathbb{I} \cdot \bar{i}_s \end{aligned} \quad (\text{ข.25})$$

จากสมการ (2.25) เราสามารถหาค่าความผิดพลาดของแรงเคลื่อนเหนี่ยวนำที่ใช้ในการประมาณค่าความเร็ว  $\bar{e}_m$  ได้ดังสมการ (ข.26)

$$\bar{e}_m = \mathbb{K}_1 \mathbb{G}(s) \cdot \left\{ \Delta\omega_m \mathbb{J} \hat{\lambda}_r \right\} + \mathbb{K}_1 \Delta(\sigma L_s) s\mathbb{I} \cdot \bar{i}_s \quad (\text{ข.26})$$

จากสมการ (ข.26) เมื่อย้ายแกนอ้างอิงจากแกนอ้างอิงสเตเตอร์ (แกน  $\alpha - \beta$ ) ไปเป็นแกนอ้างอิงโรเตอร์ฟลักซ์ (แกน  $d - q$ ) ได้ดังแสดงในสมการ (ข.27)

$$\begin{bmatrix} e_{md} \\ e_{mq} \end{bmatrix} = \begin{bmatrix} G'_{m11}(s) & G'_{m12}(s) \\ G'_{m21}(s) & G'_{m22}(s) \end{bmatrix} \begin{bmatrix} 0 \\ \hat{\lambda}_r \end{bmatrix} \Delta\omega_m + \begin{bmatrix} s+k\omega & ks-\omega \\ -ks+\omega & s+k\omega \end{bmatrix} \begin{bmatrix} i_{sd} \\ i_{sq} \end{bmatrix} \Delta(\sigma L_s) \quad (\text{ข.27})$$

จากสมการ (2.5) องค์ประกอบของแรงเคลื่อนเหนี่ยวนำ  $\bar{e}_m$  ที่ใช้ในการประมาณค่าความเร็วจริงๆ คือ  $e_{mq}$  และระบบเข้าสู่สภาวะอยู่ตัว  $e_{mq}$  จะมีค่าเป็นศูนย์ ดังนั้นเมื่อแทน  $e_{mq} = 0$  และ  $s = 0$  ลงในสมการ (ข.27) จะได้ความสัมพันธ์ระหว่าง  $\Delta\omega_m$  และ  $\Delta(\sigma L_s)$  ในสภาวะอยู่ตัว ดังแสดงในสมการ (ข.28)

$$\begin{aligned} e_{mq} = 0 &= G'_{m22}(0) \cdot \hat{\lambda}_r \Delta\omega_m + \omega (i_{sd} + ki_{sq}) \Delta(\sigma L_s) \\ \therefore \frac{\Delta\omega_m}{\Delta(\sigma L_s)} &= -\frac{\omega (i_{sd} + ki_{sq})}{G'_{m22}(0) \cdot \hat{\lambda}_r} = -\frac{(\alpha^2 + \omega_s^2)(i_{sd} + ki_{sq})}{(k\alpha + \omega_s) \hat{\lambda}_r} \end{aligned} \quad (\text{ข.28})$$

#### ข.4 ผลกระทบที่เกิดจากการเปลี่ยนแปลงค่าความต้านทานสเตเตอร์

ค่าความต้านทานสเตเตอร์เป็นพารามิเตอร์ทางด้านสเตเตอร์ การเปลี่ยนแปลงของค่าความต้านทานสเตเตอร์จะมีผลเป็นเสมือนสัญญาณรบกวน ที่รวมเข้ามากับแรงเคลื่อนเหนี่ยวนำขาออก ( $\bar{U}$ ) ที่คำนวณได้จากจากแบบจำลองอ้างอิง ดังแสดงในสมการ (ข.29) และ (ข.30) สำหรับในแบบจำลองปรับตัวซึ่งไม่ได้รับผลกระทบดังกล่าวยังคงมีค่าเหมือนเดิม ดังแสดงในสมการ(ข.31)

Reference Model:

$$\bar{U} = \bar{v}_s - \left[ \hat{R}_s + \sigma L_s \frac{d}{dt} \right] \cdot \bar{i}_s = \bar{v}_s - \left[ R_s + \sigma L_s \frac{d}{dt} \right] \cdot \bar{i}_s + \Delta R_s \cdot \bar{i}_s \quad (\text{ข.29})$$

$$\bar{U} = \frac{d\hat{\lambda}_r}{dt} + \Delta R_s \cdot \bar{i}_s = R'_r \cdot \bar{i}_s + \left[ -\frac{R'_r}{M'} \mathbb{I} + \omega_m \mathbb{J} \right] \cdot \hat{\lambda}_r + \Delta R_s \cdot \bar{i}_s \quad (\text{ข.30})$$

Adjusted Model:

$$\hat{U} = \frac{d\hat{\lambda}_r}{dt} = R'_r \cdot \bar{i}_s + \left[ -\frac{R'_r}{M'} \mathbb{I} + \hat{\omega}_m \mathbb{J} \right] \cdot \hat{\lambda}_r \quad (\text{ข.31})$$

โดยที่  $\Delta R_s \cdot \bar{i}_s$  : สัญญาณรบกวน เนื่องจากการเปลี่ยนแปลงค่าความต้านทานสเตเตอร์  
 $\Delta R_s = R_s - \hat{R}_s$  : ค่าความคลาดเคลื่อนของความต้านทานสเตเตอร์

จากความสัมพันธ์  $\bar{U} = d\bar{\lambda}/dt + \Delta R_s \cdot \bar{i}_s$  และ  $\hat{U} = d\hat{\lambda}/dt$  เราสามารถหาค่าความผิดพลาดของแรงเคลื่อนเหนี่ยวนำ  $\bar{e}$  ตามสมการ (2.6) ได้ดังแสดงในสมการ (ข.32)

$$\bar{e} = \bar{U} - \hat{U} = \frac{d}{dt}(\bar{\lambda}_r - \hat{\lambda}_r) + \Delta R_s \cdot \bar{i}_s \quad (\text{ข.32})$$

และจากการนำสมการ (ข.30) ลง (ข.31) สามารถหาค่าความผิดพลาดแรงเคลื่อนเหนี่ยวนำ  $\bar{e}$  ได้ดังแสดงในสมการ (ข.33)

$$\begin{aligned} \bar{e} &= -\frac{R'_r}{M'} \mathbb{I} (\bar{\lambda}_r - \hat{\lambda}_r) + \omega_m \mathbb{J} \bar{\lambda}_r - \hat{\omega}_m \mathbb{J} \hat{\lambda}_r + \Delta R_s \cdot \bar{i}_s \\ \bar{e} &= -\frac{R'_r}{M'} \mathbb{I} (\bar{\lambda}_r - \hat{\lambda}_r) + \omega_m \mathbb{J} (\bar{\lambda}_r - \hat{\lambda}_r) + (\omega_m - \hat{\omega}_m) \mathbb{J} \hat{\lambda}_r + \Delta R_s \cdot \bar{i}_s \\ \bar{e} &= \left( -\frac{R'_r}{M'} \mathbb{I} + \omega_m \mathbb{J} \right) (\bar{\lambda}_r - \hat{\lambda}_r) + (\Delta \omega_m) \mathbb{J} \hat{\lambda}_r + \Delta R_s \cdot \bar{i}_s \end{aligned} \quad (\text{ข.33})$$

ภายใต้เงื่อนไขว่า  $\omega_m$  มีการเปลี่ยนแปลงช้ามาก เราสามารถทำการดิฟเฟอเรนเชียลสมการ (ข.33) ได้ดังแสดงในสมการ (ข.34)

$$\frac{d}{dt} \bar{e} = \left( -\frac{R'_r}{M'} \mathbb{I} + \omega_m \mathbb{J} \right) \frac{d}{dt} (\bar{\lambda}_r - \hat{\lambda}_r) + \frac{d}{dt} \left( (\Delta \omega_m) \mathbb{J} \hat{\lambda}_r + \Delta R_s \cdot \bar{i}_s \right) \quad (\text{ข.34})$$

จากสมการ (ข.22) ความสัมพันธ์  $d(\bar{\lambda}_r - \hat{\lambda}_r)/dt = \bar{e} - \Delta R_s \cdot \bar{i}_s$  แทนลงในสมการ (ข.34) จากนั้นแทน  $d/dt$  ให้อยู่ในรูป  $s\mathbb{I}$  จะได้สมการค่าความผิดพลาดแรงเคลื่อนเหนี่ยวนำที่เกิดจาก  $\Delta \omega_m$  และ  $\Delta R_s$  ดังแสดงในสมการ (ข.35)

$$\begin{aligned} s\mathbb{I} \cdot \bar{e} &= \left( -\frac{R'_r}{M'} \mathbb{I} + \omega_m \mathbb{J} \right) (\bar{e} - \Delta R_s \cdot \bar{i}_s) + s\mathbb{I} \cdot \left( (\Delta \omega_m) \mathbb{J} \hat{\lambda}_r + \Delta R_s \cdot \bar{i}_s \right) \\ \bar{e} &= \left[ (s - \alpha) \mathbb{I} + \omega_m \mathbb{J} \right]^{-1} s\mathbb{I} \cdot \left( (\Delta \omega_m) \mathbb{J} \hat{\lambda}_r + \Delta R_s \cdot \bar{i}_s \right) \\ \bar{e} &= \mathbb{G}(s) \cdot \left( (\Delta \omega_m) \mathbb{J} \hat{\lambda}_r + \Delta R_s \cdot \bar{i}_s \right) \end{aligned} \quad (\text{ข.35})$$

จากสมการ (2.25) เราสามารถหาค่าความผิดพลาดของแรงเคลื่อนเหนี่ยวนำที่ใช้ในการประมาณค่าความเร็ว  $\bar{e}_m$  ได้ดังสมการ (ข.36)

$$\bar{e}_m = \mathbb{K}_1 \mathbb{G}(s) \cdot \left\{ (\Delta \omega_m) \mathbb{J} \hat{\lambda}_r \right\} + \mathbb{K}_1 \Delta R_s \cdot \bar{i}_s \quad (\text{ข.36})$$

จากสมการ (ข.36) เมื่อย้ายแกนอ้างอิงจากแกนอ้างอิงสเตเตอร์ (แกน  $\alpha - \beta$ ) ไปเป็นแกนอ้างอิงโรเตอร์ฟลักซ์ (แกน  $d - q$ ) ได้ดังแสดงในสมการ (ข.37)

$$\begin{bmatrix} e_{md} \\ e_{mq} \end{bmatrix} = \begin{bmatrix} G'_{m11}(s) & G'_{m12}(s) \\ G'_{m21}(s) & G'_{m22}(s) \end{bmatrix} \cdot \begin{bmatrix} 0 \\ \hat{\lambda}_r \end{bmatrix} \Delta\omega_m + \begin{bmatrix} 1 & k \\ -k & 1 \end{bmatrix} \cdot \begin{bmatrix} i_{sd} \\ i_{sq} \end{bmatrix} \Delta R_s \quad (\text{ข.37})$$

จากสมการ (2.5) องค์ประกอบของแรงเคลื่อนเหนี่ยวนำ  $\bar{e}_m$  ที่ใช้ในการประมาณค่าความเร็วจริงๆ คือ  $e_{mq}$  และระบบเข้าสู่สภาวะอยู่ตัว  $e_{mq}$  จะมีค่าเป็นศูนย์ คั้งนั้นเมื่อแทน  $e_{mq} = 0$  และ  $s = 0$  ลงในสมการ (ข.37) จะได้ความสัมพันธ์ระหว่าง  $\Delta\omega_m$  และ  $\Delta R_s$  ในสภาวะอยู่ตัว ดังแสดงในสมการ (ข.38)

$$\begin{aligned} e_{mq} = 0 &= G'_{m22}(0) \cdot \hat{\lambda}_r \Delta\omega_m + (i_{sq} - ki_{sd}) \Delta R_s \\ \therefore \frac{\Delta\omega_m}{\Delta R_s} &= -\frac{(-ki_{sd} + i_{sq})}{G'_{m22}(0) \cdot \hat{\lambda}_r} = \frac{(\alpha^2 + \omega_s^2)(ki_{sd} - i_{sq})}{\omega(k\alpha + \omega_s) \hat{\lambda}_r} \end{aligned} \quad (\text{ข.38})$$

ศูนย์วิทยทรัพยากร  
จุฬาลงกรณ์มหาวิทยาลัย

ภาคผนวก ค

การจัดรูปสมการค่าความผิดพลาดในการประมาณค่าความเร็วและความ  
ต้านทานสเตเตอร์ด้วยเทคนิค Averaging analysis

ในที่นี้เราจะแสดงที่มาของสมการ (4.10) อย่างละเอียดดังต่อไปนี้ จากสมการ (4.9) นำมาแสดงใหม่ได้ดังสมการ (ค.1)

$$\frac{d}{dt} \begin{bmatrix} \Delta\omega_m \\ \Delta R_s \end{bmatrix} = - \begin{bmatrix} k_{i1} \bar{w}_1^T \mathbb{K}_1 \left( \mathbb{G}(s) \mathbb{J} \hat{\lambda}_r \Delta\omega_m + \bar{i}_s \Delta R_s \right) \\ k_{i2} \bar{w}_2^T \mathbb{K}_2 \left( \mathbb{G}(s) \mathbb{J} \hat{\lambda}_r \Delta\omega_m + \bar{i}_s \Delta R_s \right) \end{bmatrix} \quad (\text{ค.1})$$

เมื่อใช้ Averaging analysis มาช่วยวิเคราะห์สมการ (ค.1) โดยมีสมมติฐานว่า อัตราขยายการปรับตัว (Adaptation gain)  $k_{i1}$  และ  $k_{i2}$  มีค่าน้อยจนการเปลี่ยนแปลงของ  $\hat{\lambda}_r$  และ  $\bar{i}_s$  เร็วกว่าการเปลี่ยนแปลงของ  $\Delta\omega_m$  และ  $\Delta R_s$  มาก กล่าวคือเกิด Separation of time scale ในระบบ ดังนั้นถ้าเราใช้ค่าเฉลี่ยของ  $\bar{e}$  ในสมการของ  $\Delta\omega_m$  และ  $\Delta R_s$  เราก็จะสามารถศึกษาลักษณะสมบัติของระบบในสมการ(ค.1) ได้ง่ายขึ้นโดยเริ่มต้นเราจะสมมติฐานให้

$$\hat{\mathbb{G}}(\mathbb{J} \hat{\lambda}_r \Delta\omega_m) \cong \hat{\mathbb{G}}(\mathbb{J} \hat{\lambda}_r) \Delta\omega_m \quad (\text{ค.2})$$

$$\bar{w}_1(t) = \left( \sum_{m=0}^{\infty} + \sum_{m=-\infty}^{-1} \right) \bar{a}_m e^{j\omega_m t} \quad (\text{ค.3})$$

$$\bar{w}_2(t) = \left( \sum_{n=0}^{\infty} + \sum_{n=-\infty}^{-1} \right) \bar{b}_n e^{j\omega_n t} \quad (\text{ค.4})$$

โดยที่

$\hat{\mathbb{G}}(\dots)$ : เมตริกซ์โอนย้าย  $\mathbb{G}(s)$  ในโดเมนเวลา

จากสมการ(ค.1) เราจะได้  $d\Delta\omega_m/dt$  ในรูปค่าเฉลี่ยทางเวลา  $(d\Delta\omega_m/dt)_{av}$  ดังนี้

$$\begin{aligned} \left( \frac{d \Delta\omega_m}{dt} \right)_{av} &= -k_{i1} \left[ \lim_{T \rightarrow \infty} \frac{1}{T} \int_0^T \bar{w}_1^T \mathbb{K}_1 \left( \mathbb{G}(s) \mathbb{J} \hat{\lambda}_r \Delta\omega_m + \bar{i}_s \Delta R_s \right) dt \right] \\ &= -k_{i1} \left[ \lim_{T \rightarrow \infty} \frac{1}{T} \int_0^T \bar{w}_1^T \mathbb{K}_1 \hat{\mathbb{G}}(\bar{w}_1) dt \right] (\Delta\omega_m)_{av} - k_{i1} \left[ \lim_{T \rightarrow \infty} \frac{1}{T} \int_0^T \bar{w}_1^T \mathbb{K}_1 \bar{w}_2 dt \right] (\Delta R_s)_{av} \\ &= -(D_{11})_{av} (\Delta\omega_m)_{av} - (D_{12})_{av} (\Delta R_s)_{av} \end{aligned} \quad (\text{ค.5})$$

$$\text{โดยที่ } \bar{w}_1 = \mathbb{J}\hat{\lambda}_r \text{ และ } \bar{w}_2 = \bar{i}_s \quad (\text{ค.6})$$

$$\hat{\mathbb{G}}(\bar{w}_1) = \left( \sum_{p=0}^{\infty} + \sum_{p=0}^{-\infty} \right) \mathbb{G}(j\omega_p) \bar{a}_p e^{j\omega_p t} \quad (\text{ค.7})$$

(...) <sub>av</sub> : ค่าเฉลี่ยเชิงเวลาในสเกลเวลาของ  $\Delta\omega_m$  และ  $\Delta R_s$

ดังนั้น จากสมมติฐานสมการ (ค.3) , (ค.4) และ ความสัมพันธ์สมการ (ค.7) เราสามารถหาค่าเฉลี่ย  $(A_{11})_{av}$  และ  $(A_{12})_{av}$  ดังนี้

$$\begin{aligned} (D_{11})_{av} &= k_{i1} \lim_{T \rightarrow \infty} \frac{1}{T} \int_0^T \bar{w}_1^T \mathbb{K}_1 \hat{\mathbb{G}}(\bar{w}_1) dt \\ &= k_{i1} \lim_{T \rightarrow \infty} \frac{1}{T} \int_0^T \left[ \left( \sum_{m=0}^{\infty} + \sum_{m=0}^{-\infty} \right) \bar{a}_m^T e^{j\omega_m t} \right] \left[ \left( \sum_{p=0}^{\infty} + \sum_{p=0}^{-\infty} \right) \mathbb{K}_1 \mathbb{G}(j\omega_p) \bar{a}_p e^{j\omega_p t} \right] dt \\ &= k_{i1} \left( \sum_{m=0}^{\infty} + \sum_{m=0}^{-\infty} \right) \bar{a}_{-m}^T \mathbb{K}_1 \mathbb{G}(j\omega_m) \bar{a}_m \\ &= k_{i1} \left( \bar{w}_1^T \mathbb{K}_1 \hat{\mathbb{G}}(\bar{w}_1) \right)_{av} \end{aligned} \quad (\text{ค.8})$$

$$\begin{aligned} (D_{12})_{av} &= k_{i1} \lim_{T \rightarrow \infty} \frac{1}{T} \int_0^T \bar{w}_1^T \mathbb{K}_1 \bar{w}_2 dt \\ &= k_{i1} \left( \sum_{m=0}^{\infty} + \sum_{m=0}^{-\infty} \right) \bar{a}_{-m}^T \mathbb{K}_1 \bar{b}_m \\ &= k_{i1} \left( \bar{w}_1^T \mathbb{K}_1 \bar{w}_2 \right)_{av} \end{aligned} \quad (\text{ค.9})$$

จากสมการ(ค.1) เราจะได้  $d\Delta R_s/dt$  ในรูปค่าเฉลี่ยทางเวลา  $(d\Delta R_s/dt)_{av}$  ดังนี้

$$\begin{aligned} \left( \frac{d \Delta R_s}{dt} \right)_{av} &= -k_{i2} \left[ \lim_{T \rightarrow \infty} \frac{1}{T} \int_0^T \bar{w}_2^T \mathbb{K}_2 \left( \mathbb{G}(s) \mathbb{J}\hat{\lambda}_r \Delta\omega_m + \bar{i}_s \Delta R_s \right) dt \right] \\ &= -k_{i2} \left[ \lim_{T \rightarrow \infty} \frac{1}{T} \int_0^T \bar{w}_2^T \mathbb{K}_2 \hat{\mathbb{G}}(\bar{w}_1) dt \right] (\Delta\omega_m)_{av} - k_{i2} \left[ \lim_{T \rightarrow \infty} \frac{1}{T} \int_0^T \bar{w}_2^T \mathbb{K}_2 \bar{w}_2 dt \right] (\Delta R_s)_{av} \\ &= -(D_{21})_{av} (\Delta\omega_m)_{av} - (D_{22})_{av} (\Delta R_s)_{av} \end{aligned} \quad (\text{ค.10})$$

ดังนั้น จากสมมติฐานสมการ (ค.3) , (ค.4) และ ความสัมพันธ์สมการ (ค.7) เราสามารถหาค่าเฉลี่ย  $(A_{21})_{av}$  และ  $(A_{22})_{av}$  ดังนี้

$$\begin{aligned} (D_{21})_{av} &= k_{i2} \lim_{T \rightarrow \infty} \frac{1}{T} \int_0^T \bar{w}_2^T \mathbb{K}_2 \hat{\mathbb{G}}(\bar{w}_1) dt \\ &= k_{i2} \lim_{T \rightarrow \infty} \frac{1}{T} \int_0^T \left[ \left( \sum_{m=0}^{\infty} + \sum_{m=0}^{-\infty} \right) \bar{a}_m^T e^{j\omega_m t} \right] \left[ \left( \sum_{p=0}^{\infty} + \sum_{p=0}^{-\infty} \right) \mathbb{K}_2 \mathbb{G}(j\omega_p) \bar{a}_p e^{j\omega_p t} \right] dt \\ &= k_{i2} \left( \sum_{m=0}^{\infty} + \sum_{m=0}^{-\infty} \right) \bar{a}_{-m}^T \mathbb{K}_2 \mathbb{G}(j\omega_m) \bar{a}_m \end{aligned}$$

$$= k_{i2} \left( \bar{w}_2^T \mathbb{K}_2 \hat{G}(\bar{w}_1) \right)_{\text{av}} \quad (\text{ค.11})$$

$$\begin{aligned} (D_{22})_{\text{av}} &= k_{i2} \lim_{T \rightarrow \infty} \frac{1}{T} \int_0^T \bar{w}_2^T \mathbb{K}_2 \bar{w}_2 dt \\ &= k_{i2} \left( \sum_{m=0}^{\infty} + \sum_{m=0}^{-\infty} \right) \bar{a}_{-m}^T \mathbb{K}_2 \bar{b}_m \\ &= k_{i2} \left( \bar{w}_2^T \mathbb{K}_2 \bar{w}_2 \right)_{\text{av}} \end{aligned} \quad (\text{ค.12})$$

จากการใช้ Averaging Analysis Approach ข้างต้นจะเห็นได้ว่าถ้าเราพิจารณา ระบบในสมการ (4.10) ในสเกลเวลาของ  $\Delta\omega_m$  และ  $\Delta R_s$  จะเขียนได้ใหม่ดังนี้

$$\therefore \frac{d}{dt} \begin{bmatrix} \Delta\omega_m \\ \Delta R_s \end{bmatrix} = - \underbrace{\begin{bmatrix} \bar{D}_{11} & \bar{D}_{12} \\ \bar{D}_{21} & \bar{D}_{22} \end{bmatrix}}_{\mathbb{D}} \begin{bmatrix} \Delta\omega_m \\ \Delta R_s \end{bmatrix} \quad (\text{ค.13})$$

โดยที่

$$\begin{aligned} \bar{D}_{11} &= \overline{k_{i1} \bar{w}_1^T \mathbb{K}_1 \bar{e}_1} & \bar{D}_{12} &= \overline{k_{i1} \bar{w}_1^T \mathbb{K}_1 \bar{e}_2} \\ \bar{D}_{21} &= \overline{k_{i2} \bar{w}_2^T \mathbb{K}_2 \bar{e}_1} & \bar{D}_{22} &= \overline{k_{i2} \bar{w}_2^T \mathbb{K}_2 \bar{e}_2} \\ \bar{e}_1 &= \mathbb{G}(s) \bar{w}_1 & \bar{e}_2 &= \bar{w}_2 \end{aligned}$$

" $\overline{\quad}$ " หมายถึงค่าเฉลี่ยเชิงเวลา

ศูนย์วิทยทรัพยากร  
จุฬาลงกรณ์มหาวิทยาลัย

## ภาคผนวก ง

### การหาเงื่อนไขเสถียรภาพของการประมาณค่าความต้านทานสเตเตอร์

สำหรับเงื่อนไข (ii)  $\det \mathbb{D} > 0$  เราสามารถหาค่าของ  $\det \mathbb{D}$  ที่เขียนอยู่ในรูปผลคูณภายในของสเปซเวกเตอร์ ดังแสดงในสมการ (4.25) ซึ่งนำมาเขียนใหม่ได้ในสมการ (ง.1)

$$\begin{aligned} \det \mathbb{D} &= D_{11} \cdot D_{22} - D_{12} \cdot D_{21} \\ &= \overline{(k_{11} \bar{w}_1^T \mathbb{K}_1 \bar{e}_1)(k_{12} \bar{w}_2^T \mathbb{K}_2 \bar{e}_2)} - \overline{(k_{11} \bar{w}_1^T \mathbb{K}_1 \bar{e}_2)(k_{12} \bar{w}_2^T \mathbb{K}_2 \bar{e}_1)} \\ &= k_{11} k_{12} \|\bar{w}_1\| \|\bar{w}_2\| \|\bar{e}_1\| \|\bar{e}_2\| \|\mathbb{K}_1\| \|\mathbb{K}_2\| \{\cos \theta_{11} \cos \theta_{22} - \cos \theta_{12} \cos \theta_{21}\} \end{aligned} \quad (\text{ง.1})$$

โดยที่

$$\begin{aligned} \theta_{11} &= |\angle \bar{w}_1 - (\angle \mathbb{K}_1 + \angle \mathbb{G}(\mathbb{J}\omega) + \angle \bar{w}_1)| \quad \text{มีค่าเท่ากับ } |\varepsilon_1 - \gamma + \text{sgn}(\omega) \cdot 90^\circ| \\ \theta_{12} &= |\angle \bar{w}_1 - (\angle \mathbb{K}_1 + \angle \bar{w}_2)| \quad \text{มีค่าเท่ากับ } |\varepsilon_1 + \gamma - \text{sgn}(\omega) \cdot 90^\circ| \\ \theta_{21} &= |\angle \bar{w}_2 - (\angle \mathbb{K}_2 + \angle \mathbb{G}(\mathbb{J}\omega) + \angle \bar{w}_1)| \quad \text{มีค่าเท่ากับ } |\varepsilon_2 - 2\gamma + \text{sgn}(\omega) \cdot 180^\circ| \\ \theta_{22} &= |\angle \bar{w}_2 - (\angle \mathbb{K}_2 + \angle \bar{w}_2)| \quad \text{มีค่าเท่ากับ } |\varepsilon_2| \\ \angle \mathbb{K}_1 &= \varepsilon_1 = \tan^{-1}(-k) \\ \angle \mathbb{K}_2 &= \varepsilon_2 \\ \angle \mathbb{G}(\mathbb{J}\omega) &= \angle \left\{ \mathbb{J}\omega [\alpha \mathbb{I} + \omega_s \mathbb{J}]^{-1} \right\} = \text{sgn}(\omega) \cdot 90^\circ + \gamma \end{aligned}$$

จากสมการ (4.25) จะเห็นได้ว่า  $\det \mathbb{D}$  จะมีค่ามากกว่าหรือน้อยกว่าศูนย์ จะขึ้นอยู่กับเทอม  $\{\cos \theta_{11} \cos \theta_{22} - \cos \theta_{12} \cos \theta_{21}\}$  เมื่อเราแทนค่า  $\theta_{11}$ ,  $\theta_{12}$ ,  $\theta_{21}$ , และ  $\theta_{22}$  จากสมการ (4.16)-(4.19) สามารถเขียนเทอมนี้ได้ใหม่เป็นดังนี้

$$\begin{aligned} \cos \theta_{11} \cos \theta_{22} - \cos \theta_{12} \cos \theta_{21} &= \cos(\varepsilon_1 - \gamma + \text{sgn}(\omega) \cdot 90^\circ) \cdot \cos(\varepsilon_2) - \\ &\quad - \cos(\varepsilon_1 + \gamma - \text{sgn}(\omega) \cdot 90^\circ) \cdot \cos(\varepsilon_2 - 2\gamma + \text{sgn}(\omega) \cdot 180^\circ) \\ &= \text{sgn}(\omega) \cdot \sin(-\varepsilon_1 + \gamma) \cdot \cos(\varepsilon_2) + \\ &\quad + \text{sgn}(\omega) \cdot \sin(\varepsilon_1 + \gamma) \cdot \cos(-2\gamma + \varepsilon_2) \\ &= \frac{\text{sgn}(\omega)}{2} \cdot \left\{ \sin(-\varepsilon_1 + \gamma + \varepsilon_2) + \sin(-\varepsilon_1 + \gamma - \varepsilon_2) + \right. \\ &\quad \left. + \sin(\varepsilon_1 - \gamma + \varepsilon_2) + \sin(\varepsilon_1 + 3\gamma - \varepsilon_2) \right\} \\ &= \frac{\text{sgn}(\omega)}{2} \cdot 2 \cdot \cos\left(\frac{-2\varepsilon_1 - 2\gamma + 2\varepsilon_2}{2}\right) \cdot \sin\left(\frac{4\gamma}{2}\right) \\ \therefore \cos \theta_{11} \cos \theta_{22} - \cos \theta_{12} \cos \theta_{21} &= \text{sgn}(\omega) \cdot \cos(-\varepsilon_1 - \gamma + \varepsilon_2) \cdot \sin(2\gamma) \end{aligned} \quad (\text{ง.2})$$



### ประวัติผู้เขียนวิทยานิพนธ์

นาย นิธิสาร ฅ นคร เกิดเมื่อวันที่ 5 เมษายน พ.ศ. 2521 ที่จังหวัดภูเก็ต สำเร็จ การศึกษาระดับปริญญาวิศวกรรมศาสตรบัณฑิต สาขาวิศวกรรมไฟฟ้า จากสถาบันเทคโนโลยี พระจอมเกล้าเจ้าคุณทหารลาดกระบัง ในปีการศึกษา 2542 และได้เข้าศึกษาต่อในหลักสูตร วิศวกรรมศาสตรมหาบัณฑิต สาขาวิศวกรรมไฟฟ้า ณ ภาควิชาวิศวกรรมไฟฟ้า คณะ วิศวกรรมศาสตร์ จุฬาลงกรณ์มหาวิทยาลัย ในปีการศึกษา 2543



ศูนย์วิทยทรัพยากร  
จุฬาลงกรณ์มหาวิทยาลัย